

СИБИРСКОЕ ОТДЕЛЕНИЕ АН СССР  
ИНСТИТУТ ЯДЕРНОЙ ФИЗИКИ

О.П.Алешко - Ожевский, В.П.Дикарев, В.А.Карпенко,  
Т.М.Королькова, Н.С.Кузнецов, В.Е.Панченко

РЕНТГЕНОТОПОГРАФИЧЕСКИЕ ВОЗМОЖ-  
НОСТИ ВИДИКОНА С НАКОПЛЕНИЕМ  
ИЗОБРАЖЕНИЯ НА МИШЕНИ: АПРОБА-  
ЦИЯ НА СИНХРОТРОННОМ ИЗЛУЧЕНИИ

ПРЕПРИНТ 80-196

Работа поступила - 14 октября 1980 г.

Ответственный за выпуск - С.Г.Попов  
Подписано к печати 27.X-1980г. № 06986  
Усл. 0,5 фреч. л., 0,4 учетно-изд. л.  
Тираж 150 экз. Бесплатно  
Заказ № 196.

Отпечатано на ротапринте ИЯФ СО АН СССР



Новосибирск

О.П.Алешко-Ожевский, В.П.Дикарев, В.А.Карпенко,  
Т.М.Королькова, Н.С.Кузнецов, В.Е.Панченко

РЕНТГЕНОТОПОГРАФИЧЕСКИЕ ВОЗМОЖНОСТИ ВИДИКОНА С НАКОПЛЕНИЕМ  
ИЗОБРАЖЕНИЯ НА МИШЕНИ: АПРОВАЦИЯ НА СИНХРОТРОННОМ ИЗЛУЧЕНИИ

А Н Н О Т А Ц И Я

Измерены основные параметры рентгенвидикона с накоплением изображения на мишени и окном из стеклоуглерода. Область нормальной экспозиции, коэффициент контрастности, пространственное разрешение, чувствительность и ее порог приведены в сравнении с топографическими фотопластинками. Телевизуализация проиллюстрирована Лауэ-топограммами.

Измерение характеристик рентгеновидикона с накоплением изображения на мишени (диаметр рабочей зоны 18 мм; окно из стеклоуглерода толщиной 0,8 мм), существенных для задач рентгеновской топографии, выполнено с использованием стандартных телекамеры КТП-52 и телевизионной установки ПТУ-38 с видео-контрольными устройствами (мониторами) ВК-29 и ВК-23 (с фотоприставкой). Установка ПТУ-38 была оснащена стрелочными приборами для установки и контроля напряжений накала, на управляемом электроде (модуляторе), сигнальной пластине, 1<sup>м</sup> и 2<sup>м</sup> анодах и сетке мишени. Вместе с этим комплектом телевизионной аппаратуры использовался видеомагнитофон "Электроника Л-08".

Апробация опытного образца видикона выполнялась при таких напряжениях на электродах:

	использованное	рекомендуемое
сигнальная пластина	80В	55В (40 + 70В)
1 <sup>м</sup> анод	410В	350 + 400В
2 <sup>м</sup> анод	300В	-"
сетка мишени	525В	550 + 600В
модулятор	-50В	(-40) + (-150)В

Амплитудный селектор всегда был включен. Для стирания (гашения) накопленных изображений использовалось только запирание видикона подачей на модулятор напряжения -160В; вообще устойчиво видикон открывается при напряжении на модуляторе > - 55В. На сигнальной пластине постоянно было напряжение 80В, т.е. несколько больше, чем рекомендуется; получающееся при этом некоторое увеличение чувствительности еще не приводило

к пересветке. На стирание накопленного изображения уходит от нескольких секунд до нескольких минут – в зависимости от предшествующей экспозиции; чрезмерные засветки видикон "помнит" до нескольких часов. Память открытого видикона с накопленным изображением заведомо не короче 10 мин. Визуально мишень однородна, хотя в пределах рабочей зоны наблюдалось более десяти локальных дефектов: позитивных и негативных. Замечено, что случайное увеличение напряжения на модуляторе до  $(-10) \div (-12)$  В может приводить к появлению нестираемых пятен, впрочем, слабо просматривающихся при -50 В. Для исключения некоторой чувствительности видикона в видимой области его окно было закрыто черной бумагой. Яркие топографические рефлексы на синхротронном излучении (СИ) немедленно визуализируются видиконом; изображение исчезает (т.е. накопление еще не проявило себя) сразу после перекрывания рефлекса.

Измерение чувствительности и динамического диапазона видикона было выполнено в сравнении с фотопластинками для ядерных исследований типа МР с эмульсией № 106 толщиной 10 мкм (ТУ 6-17 778 - 76; 6x9 см<sup>2</sup>). В идентичных условиях мишень видикона и фотопластинки освещались линиями К-серии Mo, разделенными при дифрактировании по Брэггу излучения рентгеновской трубки (проекция фокуса ~40 мкм) на кремнии (отражение (III)). В этих же условиях регистрировались интенсивности этих линий и соответствующие им мощности экспозиционных доз. Измерения выполнялись при различных экспозициях. Набор экспозиций автоматически расширялся за счет одновременного накопления на мишени видикона и одновременной съемки на пластинку изображений проекции фокуса рентгеновской трубки в четырех длинах волн: Mo K  $\alpha_1$ ,  $\alpha_2$ ,  $\beta_1$  и  $\beta_2$  – за счет существенного различия их интенсивностей. Изображения К-линий Mo на пластинках с различной экспозицией представляли некоторую совокупную сенситограмму. Результаты фотометрирования по К-линиям Mo (и по их контурам для нахождения соответствующих пикам линий мощностей экспозиционных доз) приведены на рис. I, где D – плотность покернения; H – экспозиция;  $\Phi$  – флюенс фотонов К-серии Mo. Из зависимости D(H) и характеристической кривой D(lg H) для пластинок МР имеем: собственная вуаль  $D_0 \approx 0,15$ ; область нормальной экспозиции  $lg H = (-0,55) \div (-0,15)$  ( $H=0,28 \div 0,7 P$ ;  $D = 0,95 \div 2,25$ ;

ширина пластиинки равна 2,5); коэффициент контрастности – 3,25; чувствительность при

$$D = D_0 + 0,85 \\ \text{равна } 3,57 P^{-1}.$$

Изображение К-спектра Mo снималось на пленку "Микрат-300" (камера "Зоркий-4К" с объективом "Индустар-50";

Рис. I.

относительное отверстие 1:8; выдержка 3 с) с экрана монитора ВК-23 по мере накопления изображения на мишени видикона (полное время накопления составило 12 мин). Результаты фотометрирования негативных кадров приведены на рис. 2. Если при фотометрировании пластинок плотность покернения измерялась вместе с собственной вуалью эмульсии, то при фотометрировании снимков с экрана монитора измерялась плотность покернения, обязанная только К-линиям Mo. Из зависимости D(H) и "характеристической кривой видикона" D(lg H) имеем:

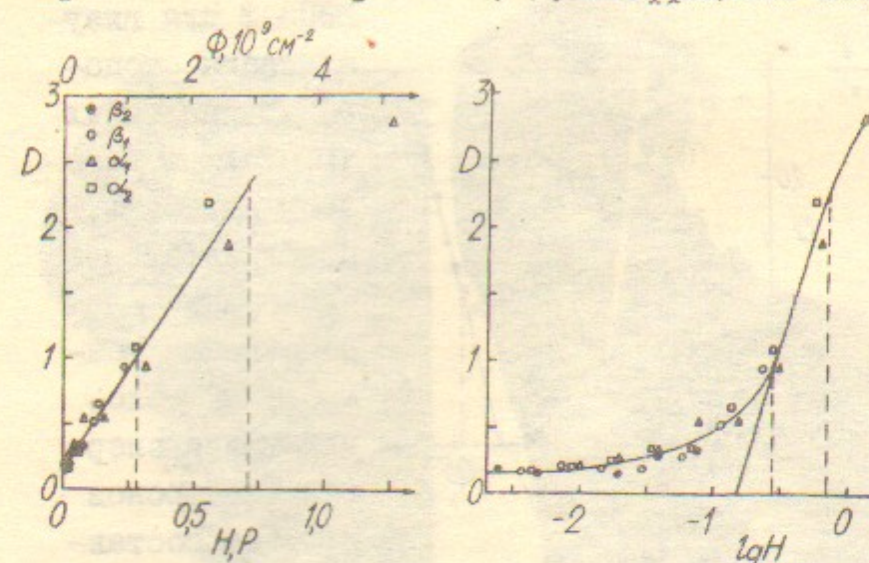
"область нормальной экспозиции"  $H = (-0,53) \div$  более  $(-0,32)$  ( $H = 0,30 \div$  более  $0,48 P$ ;  $D = 0,63 \div$  более  $1,38$ ; "ширина" более  $1,6$ );

"коэффициент контрастности" – 3,57;

"чувствительность" при  $D = 0,85$  равна  $2,8 P^{-1}$ .

Здесь понятие "области нормальной экспозиции" очень условно: ведь профотометрированы уже визуально наблюдаемые на экране монитора линии; точнее отражает возможности видикона извлекаемый из рис. 2 порог чувствительности видикона, равный  $0,023 P$ , что соответствует  $9,5 \cdot 10^7$  см<sup>-2</sup> фотонов К-серии Mo. Насыщения изображения не наступало, во всяком случае, до  $H=0,48 P$ , что в 20 раз выше порога чувствительности. Следует отметить удовлетворительную пропорциональность  $D \sim H$ .

Видикон используется на пучке СИ электронного накопителя



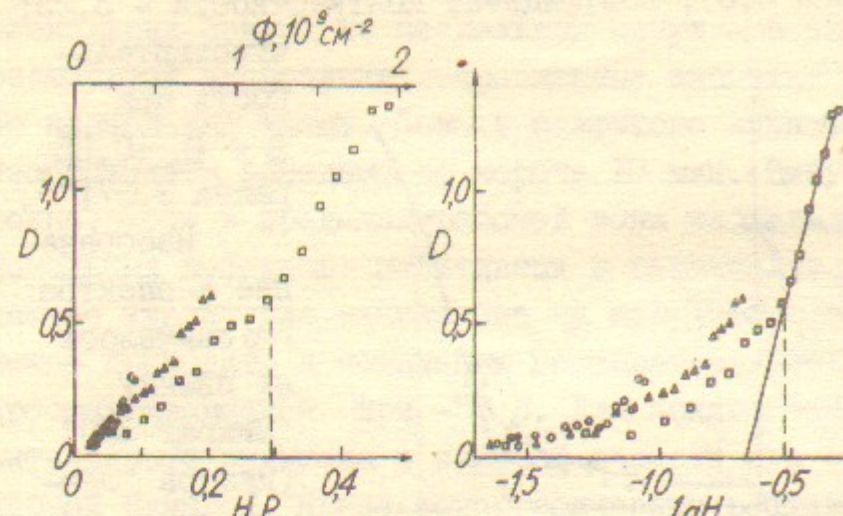


Рис.2.

ВЭШ-3 для визуализации топографии различных кристаллов в белом излучении. Приблизительные экспозиции для накопления контрастных топографий при энергии электронов 2,2 ГэВ составляют (в мА - ток в накопителе) для

кремния толщиной ~400 мкм 15 мА.мин (Лауз) и 4 мА.мин (Брэгг);

арсенида галлия ~250 мкм и кварца ~500 мкм 8 мА.мин (Лауз);

фтористого лития ~1 мм 1 мА.мин (Лауз).

Помимо визуального наблюдения удобно фотографировать топографии с экрана монитора. Это не заменяет чистый фотометод, но позволяет оперативно запечатлевать большой объем информации, когда к пространственному разрешению не предъявляются большие требования (на рис.3 и 4 показаны сравнительные топографии X(002) - и Z(200) - срезов кристалла ОКОР: слева - фотометод, справа - телевизуализация). Для оценки пространственного разрешения при фотографировании с экрана монитора был профотометрирован короткий участок изображений одной и то же дислокации смешанного типа в кремниевой эпитаксиальной структуре, полученных на фотопластинке непосредственно - и на пленке, снятой с экрана монитора (рис.5; штрихами - чистый фотометод; сканирующая щель микрофотометра 11,5 мкм). Линия дислокации была расположена перпендикулярно строкам монитора. На изображения горизонтальных линий неизбежно накладывается строчний рельеф (см. фотометрирование пленки, снятой с экрана монитора, перпендикулярно строкам на рис.6).

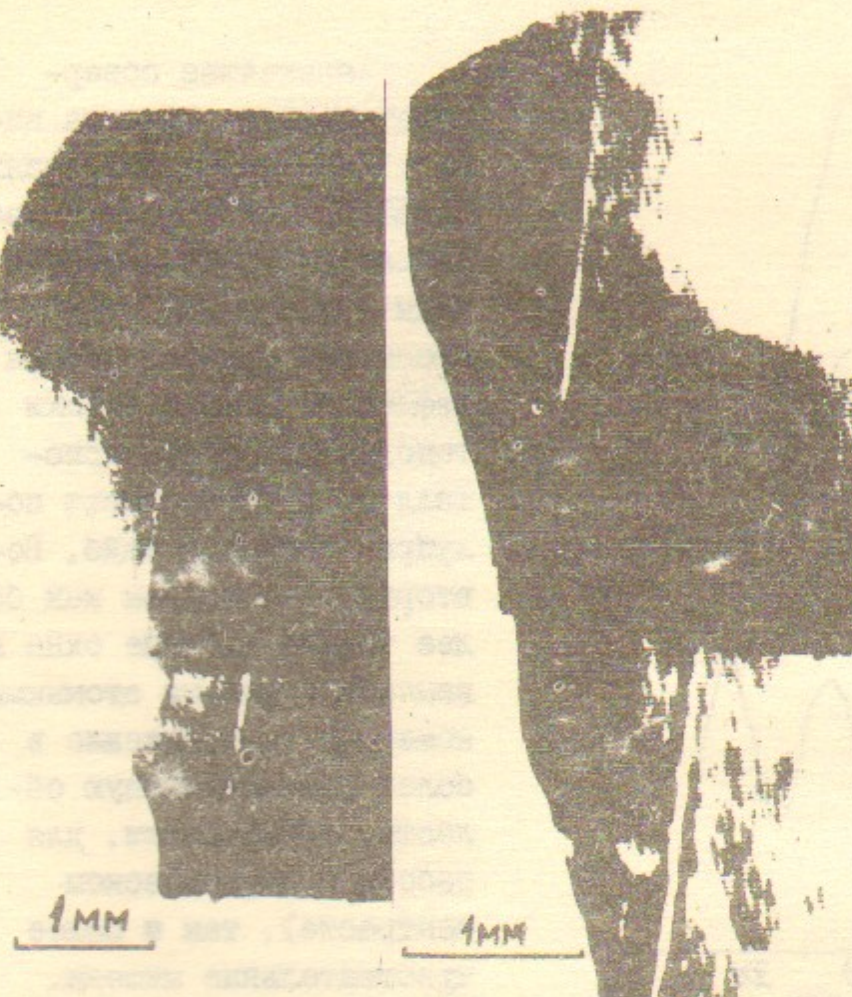


Рис.3.



Рис.4.

Здесь основные характеристики видикона измерены для фотонов с энергией ~17,7 кэВ ( $\lambda \sim 0,7 \text{ \AA}$ ). Необходимы еще измерения для других энергий, в особенности - хода с жесткостью (зависимость от длины волны поглощения входным окном и фоточувствительности мишени - см. рис.2). Кроме того, необходимы измерения предельных загрузок видикона, что важно в случае применения его на излучении змейки.

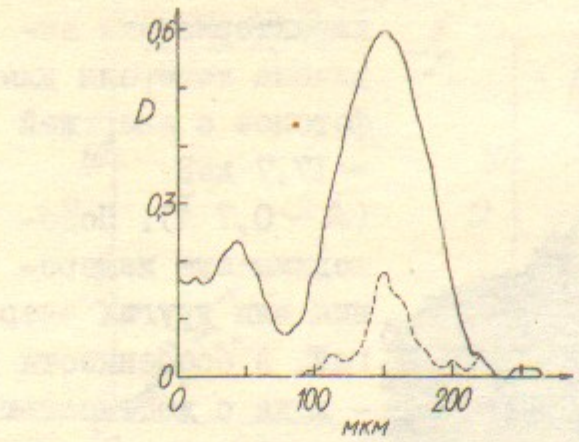


Рис.5.

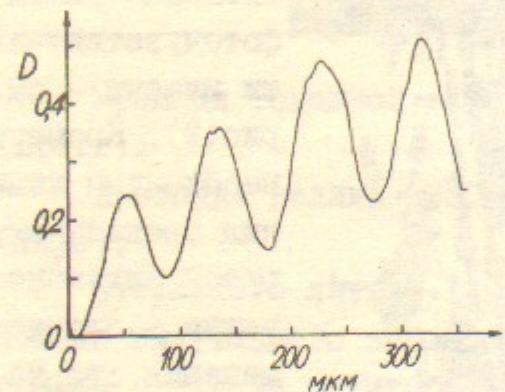


Рис.6.

Дальнейшее совершенствование видикона видится в двух направлениях. Во-первых, необходимо увеличивать диаметр рабочей зоны - и для облегчения пространственного поиска рефлексов, и для съемки топограмм крупных кристаллов, в особенности полупроводниковых шайб. Во-вторых, необходимы как более тонкие входные окна из веществ с малыми атомными номерами (продвижение в более длинноволновую область, в частности, для работы в бормановском контрасте), так и более чувствительные мишени.